УДК 534.213

АСИМПТОТИЧЕСКОЕ ПРЕДСТАВЛЕНИЕ ПОЛЯ ТОЧЕЧНОГО ИСТОЧНИКА ДЛЯ ОДНОЙ МОДЕЛИ БЕРЕГОВОГО КЛИНА

Н. Н. Комиссарова

Решение задачи о поле точечного источника в клине с одной абсолютно мягкой, другой абсолютно жесткой гранями представлено в виде суммы нормальных волн. Для высоких частот найдено асимптотическое представление поля нормальной волны произвольного номера.

Известно, что задача о дифракции волн на клине является важной с точки зрения многих физических приложений. В частности, к ней иногда удается свести интересную для акустики моря задачу о распространении звука в прибрежной зоне. При этом в зависимости от акустических свойств грунта оказывается возможным использовать ту или иную идеализированную модель берегового клина. Ниже в качестве такой модели будет рассмотрен клин с одной абсолютно мягкой, другой абсолютно жесткой гранями.

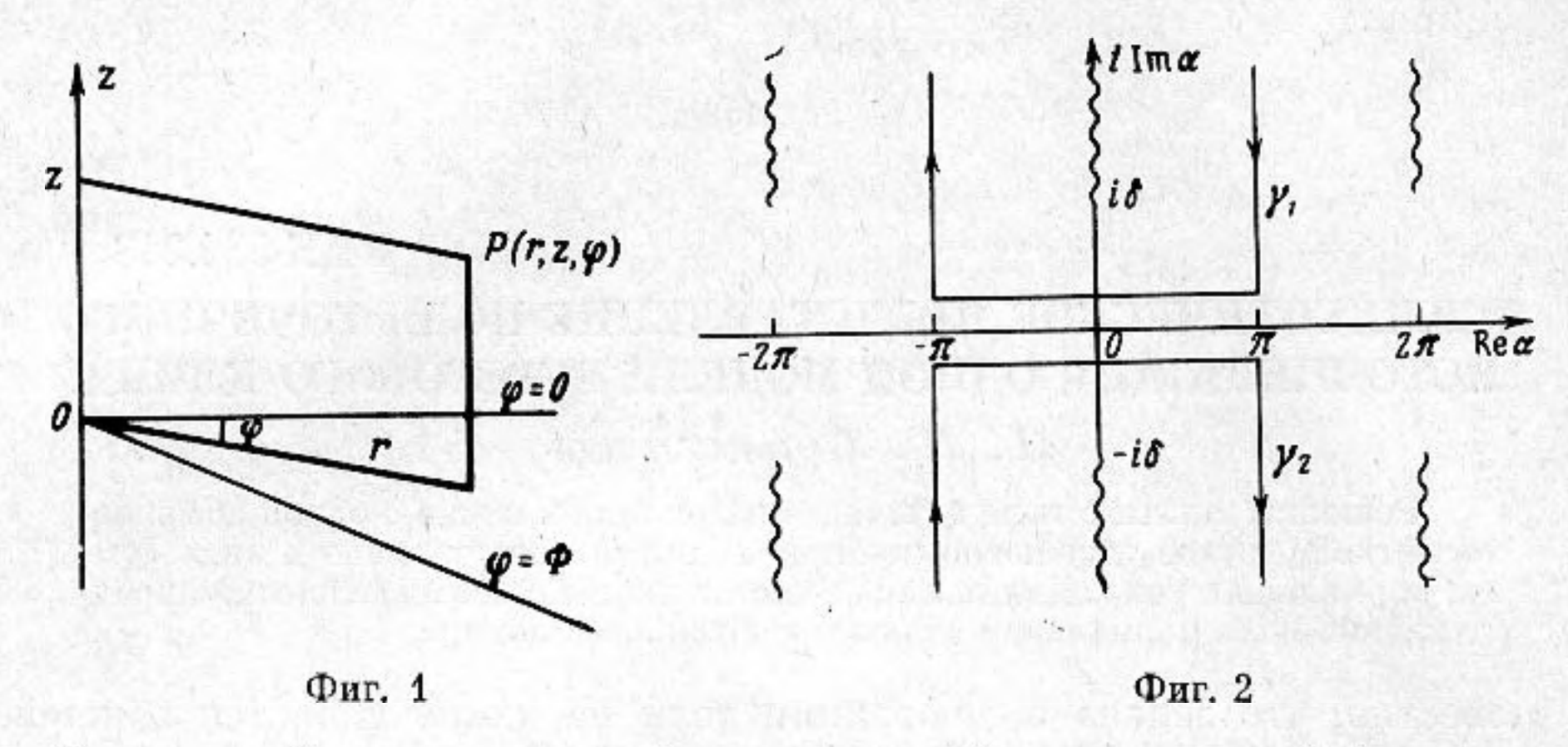
Так как обычно решение дифракционной задачи, когда оно может быть получено, имеет вид некоторого интегрального соотношения, то для выяснения качественного характера поля источника и для проведения количественных расчетов необходимо найти какое-либо удобное асимптотическое представление. Часто при расчете поля точечного источника в береговом клине сразу используют метод лучевой акустики [1, 2]. Однако этот метод приводит к ряду трудностей, связанных с необходимостью учета большого числа мнимых источников при малых углах раствора клина Φ (число мнимых источников, например, при $\Phi = 10'$ оказывается порядка $2 \cdot 10^3$). Недостатком его является также и отсутствие явного аналитического выражения для поля. В некоторых областях, в частности, когда точка наблюдения находится вблизи ребра клина, геометрическое приближение неприменимо вообще.

Другим подходом к решению задачи может служить использование метода нормальных волн. Этим методом в работе [3] приближенно решена задача о распространении звука в мелком море с медленно изменяющейся глубиной. Однако в этой работе воздействие берега не учитывается.

В настоящее время известно много различных представлений точного решения задачи о дифракции на клине. Особенно большое число работ посвящено решению задач Дирихле или Неймана в клиновидной области. Задача же о поле источника в клине с одной абсолютно мягкой, другой абсолютно жесткой гранями рассматривалась реже. Известно асимптотическое представление поля гармонического источника в таком клине на расстояниях от ребра, значительно превышающих расстояние от ребра до источника [4, 5]. Это асимптотическое представление имеет вид поля расположенного в безграничной среде точечного источника с некоторой диаграммой направленности. Нами получено другое справедливое везде асимптотическое представление поля точечного источника в клине. Оно оказывается особенно удобным, когда точка наблюдения находится вблизи ребра клина.

1. Рассмотрим клиновидную область D, определяемую в цилиндрической системе координат (r, z, φ) неравенствами: $0 < r < \infty$, $|z| < \infty$, $0 < \varphi < \Phi$ (фиг. 1). Грань клина $\varphi = 0$ — абсолютно мягкая, грань

 $\phi = \Phi -$ абсолютно жесткая. Пусть в точке $Q(r_0, 0, \phi_0)$ расположен точеный гармонический излучатель с объемной скоростью равной $-1/4\pi$. Потенциал скоростей $\psi(r, z, \phi)$ ($\psi \sim e^{-i\omega t}$) всюду в области D, кроме точ-



ки Q, должен быть однозначной, непрерывной, ограниченной (в том числе и на границах области) функцией, удовлетворяющей волновому уравнению

$$\Delta \psi + k^2 \psi = 0, \tag{1}$$

граничным условиям

$$\psi = 0$$
 при $\varphi = 0$, $\frac{\partial \psi}{\partial n} = 0$ при $\varphi = \Phi$. (2)

и условию излучения. Особенность функции $\psi(P)$ в точке P=Q должна быть такой, что $\lim_{P\to Q} \psi_1(P) R (\phi-\phi_0)=0$, где

$$\psi_1(P) = \psi(P) - \frac{e^{ikR(\phi - \phi_0)}}{R(\phi - \phi_0)}$$
 и $R(\alpha) = \sqrt{r^2 + r_0^2 + z^2 - 2rr_0\cos\alpha}$.

Известно, что поле точечного источника в клиновидной области можно представить в виде интеграла Зоммерфельда — Малюжинца [6, 7]:

$$\psi(r,z,\varphi) = \frac{1}{2\pi i} \int_{\gamma} \frac{e^{ikR(\alpha)}}{R(\alpha)} S(\alpha + \varphi) d\alpha.$$
 (3)

Нетрудно показать, что для поставленной задачи функция $S(\alpha)$ имеет вид

$$S(\alpha) = \frac{\pi}{4\Phi} \left[\csc \frac{\pi}{2\Phi} (\alpha - \varphi_0) - \csc \frac{\pi}{2\Phi} (\alpha + \varphi_0) \right]. \tag{4}$$

Контур интегрирования γ состоит из ветвей γ_1 и γ_2 (фиг. 2); на этой же фигуре волнистой линией указаны разрезы, идущие в бесконечность из точек $\alpha = 2\pi m \pm i\delta$, где $\delta = {\rm arch} \frac{r^2 + r_0^2 + z^2}{2rr_0}, m = 0, \pm 1, \ldots$, соответст-

вующие выбору ветви корня $\operatorname{Re} R(a) > 0$.

После некоторых преобразований интеграла (3), подобных тем, которые проводились в работе [8] для клина с обеими абсолютно мягкими или с обеими абсолютно жесткими гранями, получим следующее представление звукового потенциала $\psi(r, z, \varphi)$ в виде суммы нормальных воли:

$$\psi(r,z,\varphi) = \sum_{n=0}^{\infty} \psi_n(r,z,\varphi),$$

$$\psi_n(r,z,\varphi) = -\frac{2}{\Phi} \sin \mu_n \varphi \sin \mu_n \varphi_0 \int_{\gamma_1} \frac{e^{ikR(\alpha) + i\mu_n \alpha}}{R(\alpha)} d\alpha.$$
 (5)

Этим выражением особенно удобно пользоваться при расчете поля в области, примыкающей к ребру клина. Множитель $\sin \mu_n \phi_0$, входящий в выражение для $\psi_n(r, z, \phi)$ (5), является мерой интенсивности возбуждения нормальной волны номера n источником, расположенным в плоскости $\phi = \phi_0$. Множитель $\sin \mu_n \phi$ описывает распределение поля n-й нормальной волны по координате ϕ . Зависимость ψ_n от r и z определяется интегралом $I = \int_{r_0}^{\infty} \frac{e^{ihR(\alpha)+i\mu_n \alpha}}{R(\alpha)} d\alpha$, для которого в случае $kr_0 \gg 1$ методом перевала

можно получить удобное асимптотическое представление.

Обозначим $L_n = \mu_n/k$, $f_n(\alpha) = R(\alpha) + L_n \alpha$ и рассмотрим сначала случай, когда $\mu_n < k r_0$. Если точка наблюдения P находится внутри области S_n , определяемой неравенством $(r^2 - L_n^2) (r_0^2 - L_n^2) - L_n^2 z^2 > 0$, то в полосе $|\operatorname{Re} \alpha| \leqslant \pi$ расположены две перевальные точки

$$\alpha_{\pm} = -\arccos \frac{1}{rr_0} (L_n^2 \mp \sqrt{(r^2 + L_n^2)(r_0^2 - L_n^2) - L_n^2 z^2)}). \tag{6}$$

Обычным способом вычисляя первый член асимптотики интеграла I, мы получаем для функции ψ_n следующее асимптотическое представление:

$$\psi_n = \frac{2\sqrt{2\pi}}{\Phi} \sin \mu_n \varphi \sin \mu_n \varphi_0 e^{i\pi/4} \times$$

$$\times \left[\frac{e^{ikR(\alpha_{+})+i\mu_{n}\alpha_{+}}}{R(\alpha_{+})\sqrt{k|f''(\alpha_{+})|}} + \frac{e^{-i\frac{\pi}{2}+ikR(\alpha_{-})+i\mu_{n}\alpha_{-}}}{R(\alpha_{-})\sqrt{k|f''(\alpha_{-})|}} \right], \tag{7}$$

где $R(\alpha_{\pm}) = \sqrt{2rr_0(\cosh\delta - \cos\alpha_{\pm})}, \quad f''(\alpha_{\pm}) = r^2r_0^2R^{-3}(\alpha_{\pm}) \text{ (2ch }\delta\cos\alpha_{\pm} - 1 - \cos^2\alpha_{\pm}).$

Заметим, что функцию ψ_n можно интерпретировать как вычисленное в геометрическом приближении поле некоторого цилиндрического источника, помещенного в точку $(r_0, 0)$ слоисто-неоднородной среды со скоростью звука $c(r) = c \left[1 - (\mu_n^2 - \frac{1}{4}) / k^2 r^2\right]^{-\frac{1}{2}}$. В этом случае в точку наблюдения приходят два луча: один — коснувшийся, другой — не коснувшийся каустики. Гипербола

$$(r^2 - L_n^2) (r_0^2 - L_n^2) - L_n^2 z^2 = 0 (8)$$

является каустикой для этих лучей. Область между ребром клина и каустикой является зоной геометрической тени для данной нормальной волны. Вне этой области расположена освещенная область S_n . Такое представление поля нормальной волны можно получить другим путем, если функцию $\psi(r,z,\phi)$ сразу искать в виде суммы нормальных волн $\sin \mu_n \phi T_n(r,z)$, а возникающее для $T_n(r,z)$ уравнение решать в геометрическом приближении. Такой подход был использован в работах [3, 9] при решении задачи о распространении звука в мелком море с переменной глубиной и в работе [10] при изучении рефракции нормальных волн в клине.

2. Асимптотическое представление (7) применимо до тех пор, пока производная $f''(\alpha_{\pm})$ не слишком мала. Когда $f''(\alpha_{\pm}) = 0$ (точка наблюдения $P = P_{\kappa}$ находится на каустике) можно получить другое асимптотическое представление. Координаты точки $P_{\kappa}(r_{\kappa}, z_{\kappa})$ удовлетворяют уравнению (8). При этом обе перевальные точки стягиваются в точку α_{κ} :

$$\alpha_{\kappa} = -\arccos\frac{L_n^2}{r_0 r_{\kappa}}.$$
 (9)

Из точки α_{κ} берут начало три кривые быстрейшего спуска. Преобразуем контур γ_{ι} в контур Γ_{κ} , составленный из двух таких кривых. Функцию $f(\alpha)$ разложим в ряд Тейлора в окрестности точки α_{κ} до члена, содержащего третью производную этой функции включительно. Вычисляя далее интеграл I по контуру Γ_{κ} , мы придем к следующему асимптотическому представлению поля n-ой нормальной волны в точке на каустике:

$$\psi_{n}(r_{R},z_{R}\phi) = \frac{2\sqrt[3]{6}}{\sqrt{3}} \frac{\Gamma\left(\frac{1}{3}\right) \sin \mu_{n} \phi \sin \mu_{n} \phi_{0} \times \frac{\exp\left[ik\sqrt{\frac{r_{0}^{2}}{L_{n}^{2}}r_{R}^{2} - L_{n}^{2} + i\mu_{n}\alpha_{R}}\right]}{\sqrt{\frac{r_{0}^{2}}{L_{n}^{2}}r_{R}^{2} - L_{n}^{2}}}.$$
(10)

3. Получим теперь равномерную асимптотику поля *n*-й нормальной волны, которая хорошо описывает поле в освещенной области, на каустике и в ее окрестности, а также в зоне тени (номер n опять таков, что $\mu_n < kr_0$). Подчеркивая зависимость функции $f(\alpha)$ также и от параметра P, будем, где это необходимо, писать $f(\alpha, P)$. Если точка наблюдения P находится окрестности в некоторой точки P_{κ} то структура поверхности $\exp[\operatorname{Re} ikf(\alpha, P)]$ такова, что, хотя контур Γ_{κ} и не образован теперь линиями быстрейшего спуска, тем не менее подынтегральная функция в 1 быстро стремится на нем к нулю. По координатам точки P выберем на каустике соответствующую точку P_{κ} и вычислим интеграл I по контуру Γ_{κ} , который состоит из линий быстрейшего спуска для точки P_{κ} . Для дальнейших вычислений точку $P_{\scriptscriptstyle \mathrm{R}}$ удобно выбирать так, чтобы выполнялось соотношение $f''(\alpha_0, P_R) = 0$, где α_0 определяется из уравнения $f''(\alpha_0, P) = 0$. При этом $\alpha_{R} = \alpha_{0}$, а разложение функции $f(P, \alpha)$ в ряд Тейлора в окрестности точки ан не содержит члена со второй производной. Ограничиваясь в этом разложении членом с третьей производной, нетрудно свести полученный интеграл по контуру Γ_{κ} к функции Эйри v(t), после чего для функции $\psi_n(r, z, \phi)$ получим следующее асимптотическое представление:

$$\psi_{n}\left(r,z,\phi\right)=\frac{4\sqrt[3]{2\sqrt{\pi}}}{\Phi}\sin\mu_{n}\phi\sin\mu_{n}\phi_{0}\times \\ \times \frac{\exp\left[ik\sqrt{2rr_{0}\sinh\delta}-i\mu_{n}\arccos\left(\cosh\delta-\sinh\delta\right)\right]}{\sqrt[6]{k^{2}rr_{0}\left(\cosh\delta-\sinh\delta\right)}\sqrt{2rr_{0}\sinh\delta}}v\left(t_{n}\right), \tag{11}$$
 где $t_{n}=\sqrt[3]{2k^{2}}\frac{L_{n}-\sqrt{rr_{0}\left(\cosh\delta-\sinh\delta\right)}}{\sqrt[6]{rr_{0}\left(\cosh\delta-\sinh\delta\right)}}.$

Если значения *r* и *z* связаны соотношением (8), т. е. точка наблюдения находится на каустике, формула (11) переходит в формулу (10).

Для функции ψ_n можно получить более простое выражение, если в формуле (11) перейти к новым переменным:

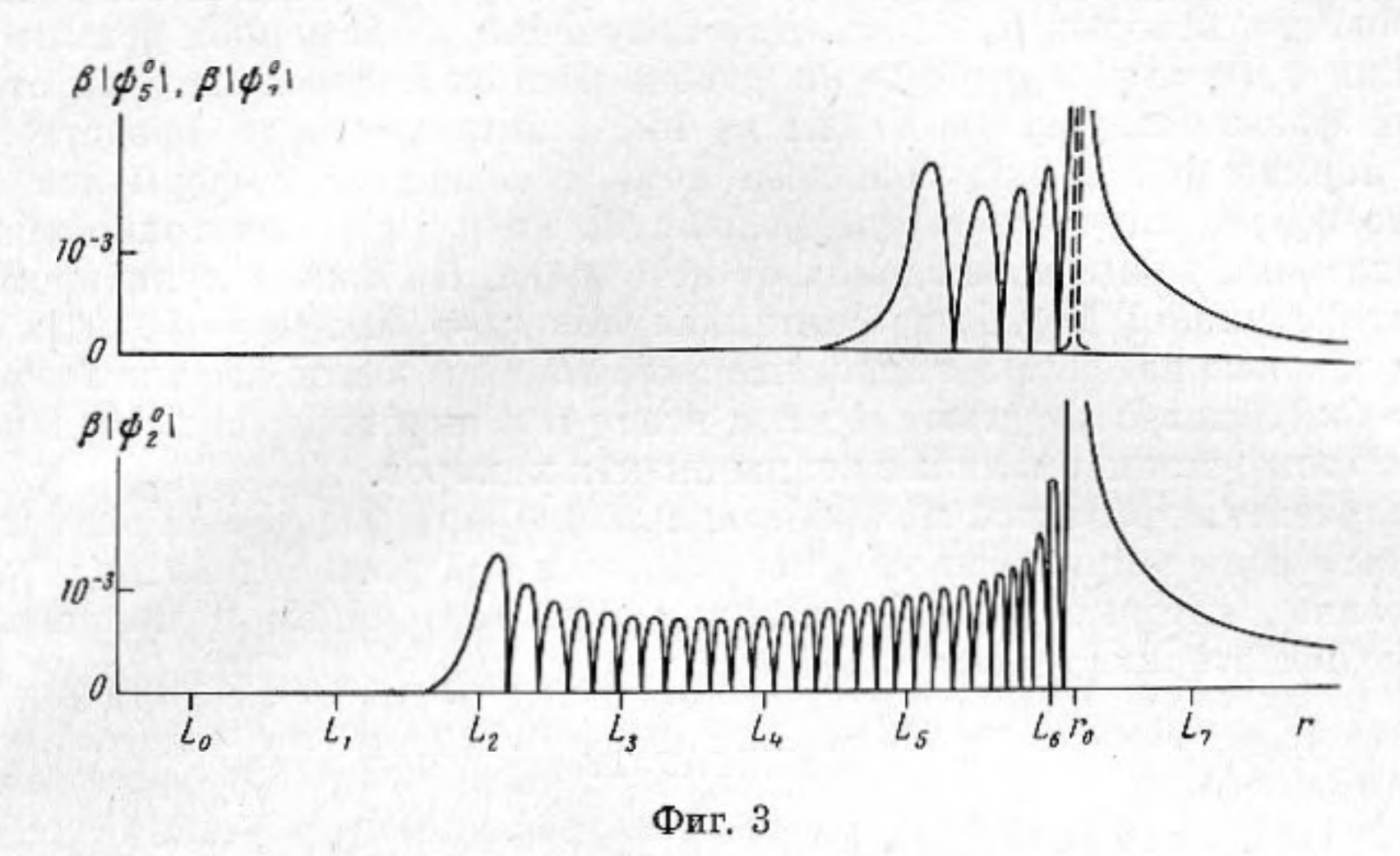
$$r_+ - r_- = 2u, \quad r_+ + r_- = 2w,$$
 (12)

где $r_- = \sqrt{(r-r_0)^2 + z^2}$, $r_+ = \sqrt{(r+r_0)^2 + z^2}$. В системе координат r, z кривыми $u = {\rm const}$ являются гиперболы, симметричные относительно оси r и пересекающие ее в точках r = u. Гипербола $u = L_n$ совпадает с каустикой (8). Кривыми $w = {\rm const}$ является семейство эллипсов с фокусами, расположенными в точке $Q(r_0, 0)$ и зеркально отраженной относительно оси z точке Q'. Эллипсы пересекают ось r в точках r = w. Легко заметить, что $0 \le u \le r_0$, $r_0 \le w < \infty$. В системе координат u w формула (11) принимает следующий вид:

$$\psi_{n} = \frac{4\sqrt[3]{2}\sqrt{\pi}}{\Phi} \sin \mu_{n} \varphi \sin \mu_{n} \varphi_{0} \frac{\exp\left[ik\sqrt[3]{w^{2} - u^{2}} - i\mu_{n} \arccos\frac{u}{w}\right]}{\sqrt[3]{ku}\sqrt{w^{2} - u^{2}}} v(t_{n}), \tag{13}$$

где $t_n = \sqrt[3]{2k^2} \frac{L_n - u}{\sqrt[3]{u}}$. Значению $t_n = 0$ соответствует каустика $u = L_n$.

При стремлении u к нулю, т. е. при стремлении точки наблюдения к ребру клина, $t_n \to \infty$, а $|\psi_n|$ монотонно убывает до нуля. Область $u < L_n$ соответствует зоне тени. При $L_n < u < r_0$ (освещенная область) t_n отрица-



тельно, функция $|v(t_n)|$ осциллирует, а поле нормальной волны ψ_n имеет интерференционный характер. На фиг. 3 приведены графики функций

интерференционный характер. На фиг. 5 приведены графики функции $\frac{|v(t_n)|}{\sqrt[3]{ku}\sqrt[3]{k^2(w^2-u^2)}} = \beta|\psi_n^\circ| (\psi_n^\circ = \psi_n \text{ при } z = 0, \beta = \Phi[4\sqrt[3]{2\sqrt[3]{\pi}k} \sin \mu_n \phi \times 1$

 $\times \sin \mu_n \phi_0]^{-1}$) при $r_0 = 30\lambda$, $\Phi = 10^\circ$ для второй и пятой нормальных волн (сплошные линии). На этой же фигуре отмечены каустики для $0, 1, \ldots, 6$ -й нормальных волн. Расстояния между соседними каустиками постоянны и равны $\lambda/2\Phi$; они превышают расстояния между соседними максимумами нормальной волны. Первая каустика появляется на расстоянии $r = L_0 = \frac{\lambda}{4\Phi}$ от ребра, когда длина окружности с центром в точке r = 0, заключенной между гранями клина, станет равной $\lambda/4$. Следующие каустики появятся, когда длина дуги станет равной $3\lambda/4$, $5\lambda/4$ и т. д.

Если точка наблюдения P перемещается по гиперболе $u={
m const}$ в на-

правлении от оси r, то

$$|\psi_n| = |\psi_n^0| \frac{\sqrt{r_0^2 - u^2}}{\sqrt{w^2 - u^2}}, \tag{14}$$

т. е. $|\psi_n|$ монотонно убывает как $(w^2-u^2)^{-1/2}$. Выражение (7) для ψ_n можно также записать в координатах u и w:

$$\begin{split} \psi_n &= \frac{2 \, \sqrt{2\pi} \sin \mu_n \varphi \sin \mu_n \varphi_0}{\Phi \, \sqrt[4]{k^2 \, (u^2 - L_n^2) (w^2 - L_n^2)}} e^{i\pi/4} \, \times \\ &= \exp \left\{ ik \big(\sqrt{w^2 - L_n^2} - \sqrt{u^2 - L_n^2} \big) - \right. \\ &\times \left[\frac{-i\mu_n \arccos \Big[\frac{1}{uw} \Big[L_n^2 + \sqrt{(w^2 - L_n^2) \, (u^2 - L_n^2)} \Big) \Big] \Big\} - }{\sqrt{\sqrt[4]{w^2 - L_n^2} - \sqrt{u^2 - L_n^2}}} + \end{split} \right. \end{split}$$

$$+\frac{\exp\left\{-i\frac{\pi}{2}+ik(\sqrt{\overline{w^{2}}-L_{n}^{2}}+\sqrt{\overline{u^{2}}-L_{n}^{2}})-\right.}{\sqrt{\sqrt{\overline{w^{2}}-L_{n}^{2}}+\sqrt{\overline{u^{2}}-L_{n}^{2}}}}\right]}$$

Нетрудно показать, что это асимптотическое представление справедливо при $u-L_n\gg \lambda/\mu_n$.

4. До сих пор мы определяли асимптотику нормальных волн низких номеров, для которых $\mu_n \ll kr_0$. Для получения равномерной асимптотики функции $\psi_n(r,z,\phi)$ при $\mu_n > kr_0$ удобно воспользоваться методом стационарной фазы. Полученное таким путем асимптотическое представление поля нормальной волны большого номера совпадает с формулой (13). Однако в этом случае t всегда положительно и $|\psi_n|$ монотонно убывает при удалении точки наблюдения от источника. На фиг. 3 пунктиром изображена функция $\beta |\psi_1^o|$, рассчитанная при $r_0 = 30\lambda$, $\Phi = 10^o$. Из сравнения кривых на фиг. 3 видно, что нормальные волны высоких номеров $(\mu_n > kr_0)$ быстро затухают и дают вклад в общее поле на несколько порядков ниже, чем нормальные волны низких номеров.

Полученные формулы можно использовать при расчете характеристик звукового поля в прибрежной зоне, учитывая при этом только те нормальные волны, которые хорошо возбуждаются источником и проникают в

данную область пространства.

ЛИТЕРАТУРА

1. Melvin I. Jacobson, John G. Clark. Refrected/reflected ray transmissions in a divergent channel. J. Acoust. Soc. America, 1967, 41, 1, 167-176.

 Melvin I. Jacobson, J. Thomas Warfield. Surface — reflected/bottom reflected ray transmissions in a divergent channel. J. Acoust. Soc. America, 1968, 43, 1, 15—24.

 Allan D. Pierce. Extension of the method of normal modes to sound propagation in an almost-stratified medium. J. Acoust. Soc. America, 1965, 37, 1, 19—27.

4. М. П. Сахарова. Асимптотическое представление звукового поля точечного

источника в клиновидной области. Акуст. ж., 1959, 5, 2, 215—220.

М. П. Сахарова. Об одном асимптотическом представлении поля распределенного излучателя с заданным распределением объемной скорости, расположенного в клиновидной области. Акуст. ж., 1965, 11, 2, 215—221.

6. Ф. Франк, Р. Мизес. Дифференциальные и интегральные уравнения математической физики и пятая М — Л. 1937

тической физики, ч. пятая, М.— Л., 1937.

7. Г. Д. Малюжинец. Некоторые обобщения метода отражений в теории дифракции синусоидальных волн (докт. диссертация). Физический ин-т им. П. Н. Лебедева АН СССР, 1951.

8. А. А. Тужилин. Новые представления дифракционных полей в клиновидных областях с идеальными границами. Акуст. ж., 1963, 9, 2, 209—214.

 R. N. Denham. Intensity-decay laws for sound propagation in shallow water of variable depth. J. Acoust. Soc. America, 1966, 39, 6, 1170—1173.

В. К. Кузнецов. Рефракция нормальных волн в клине. Вестн. МГУ, 1967, 3, 4, 19—21.

Сахалинский комплексный научно-исследовательский институт СО АН СССР Новоалександровск Поступила в редакцию 5 октября 1970 г.